

## ОПТИМАЛЬНАЯ ФИЛЬТРАЦИЯ ЭЛЛИПТИЧЕСКИ ПОЛЯРИЗОВАННЫХ ПРОСТРАНСТВЕННЫХ СИГНАЛОВ

В. В. Мотлохов

### 1. Постановка задачи

На рис. 1 изображена рассматриваемая система связи, состоящая из источника сигнала (цели) некоторой протяженности  $m(z)$  на фоне шума (помехи)  $n(z)$ , пространства и приемной сканирующей антенны  $A$  с диаграммой направленности по полю  $h(z)$ .

Пространственный сигнал представляет собой суммарное распределение напряженности эллиптически поляризованного электрического поля цели и помехи

$$f(z) = m(z) + n(z), \quad (1)$$

где  $z = \sin \theta$  — угловая координата для дальней зоны антенны;

$f(z)$ ,  $m(z)$ ,  $n(z)$  — комплексные векторные функции пространственной координаты  $z$ .

Определяя состояние поляризации в виде двух линейно поляризованных несинфазных ортогональных компонент поля, предположим, что составляющие напряженности электрического поля помехи распределены по нормальному закону и выражаются случайными реализациями по пространству с известными корреляционными функциями, зависящими от разности координат.

Ортогональные составляющие поля сигнала являются известными функциями пространственной координаты  $z$

$$\begin{aligned} m_x(z) &= m_{0x}(z - z_0), \\ m_y(z) &= m_{0y}(z - z_0), \end{aligned} \quad (2)$$

где  $z_0$  — неизвестная (случайная) координата появления цели;  $m_0(z)$  — детерминированная функция.

Решение задачи оптимальной фильтрации заключается в синтезе такой эллиптически поляризованной приемной антенны, отношение сигнал/шум на выходе которой будет максимальным, а дисперсия ошибки пеленгации цели (2) в присутствии шумов — минимальной.

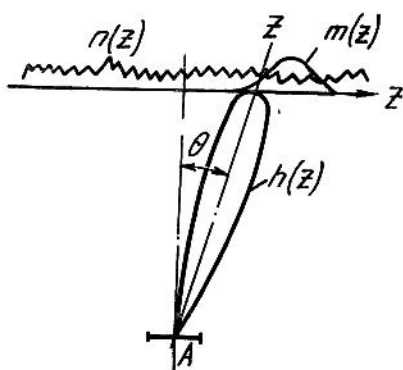


Рис. 1.

## 2. Пространственный сигнал на выходе эллиптически поляризованной антенны

Эллиптически поляризованный пространственный сигнал в плоскости цели можно представить в виде

$$\bar{f}(z) = \bar{p}_x^0 f_x(z) + \bar{p}_y^0 f_y(z), \quad (3)$$

где  $\bar{p}_x^0, \bar{p}_y^0$  — ортовая система координат в точке дальней зоны, определяющая компоненты поля, которые при приеме совпадают с осями  $ox$  и  $oy$  системы координат в раскрыве антенны

$$\begin{aligned} f_x(z) &= m_x(z) + n_x(z), \\ f_y(z) &= m_y(z) + n_y(z). \end{aligned} \quad (4)$$

Представляя эллиптически поляризованную антенну в виде двух совмещенных эквивалентных линейных ортогонально поляризованных антенн, суммарный сигнал на выходе антенны можно записать следующим образом [1]:

$$B(z') = \gamma_x B_x(z') + \gamma_y B_y(z'), \quad (5)$$

где  $\gamma_x, \gamma_y$  — некоторые постоянные, зависящие от соотношения импедансов в антенне;  
 $B_x(z'), B_y(z')$  — отклики на выходе ортогонально поляризованных линейных антенн с направления  $z'$ , которые (с точностью до постоянного множителя) равны:

$$\begin{aligned} B_x(z') &= \int_{-1}^1 f_x(z) h_x(z' - z) dz, \\ B_y(z') &= \int_{-1}^1 f_y(z) h_y(z' - z) dz. \end{aligned} \quad (6)$$

В (6)  $h_x(z)$  и  $h_y(z)$  — диаграммы направленности эквивалентных ортогонально поляризованных линейных антенн, связанные фурье-преобразованиями с соответствующими им амплитудно-фазовыми распределениями  $t_x(u)$  и  $t_y(u)$ , сосредоточенными на интервале  $[-\alpha, \alpha]$ , где

$$|\alpha| = \frac{\pi a}{\lambda}, \quad (7)$$

$a$  — линейный размер антенны;  
 $\lambda$  — длина волны.

С учетом приведенных формул выражение (5) можно преобразовать к виду

$$B(z') = \gamma_x [\mu_x(z') + \nu_x(z')] + \gamma_y [\mu_y(z') + \nu_y(z')], \quad (8)$$

где  $\gamma_x \mu_x(z') + \gamma_y \mu_y(z')$  — сглаженный сигнал;  
 $\gamma_x \nu_x(z') + \gamma_y \nu_y(z')$  — сглаженный шум.

### 3. Отношение сигнал/шум

Пренебрегая собственными шумами антенны и учитывая (4), (6) и (8), представим отношение сигнал/шум на выходе эллиптически поляризованной антенны в следующем виде:

$$\rho = \frac{|\mu_x(z') + \gamma \mu_y(z')|^2}{|\nu_x(z') + \gamma \nu_y(z')|^2} = \frac{E_\mu}{E_\nu}, \quad (9)$$

где  $\gamma = \frac{\gamma_y}{\gamma_x}$ .

Преобразуем числитель (9), применив теорему Планшереля [2] к (6) с учетом (4) и (8)

$$E_{\mu} = \frac{1}{4\pi^2} \left| \int_{-\alpha}^{\alpha} S_{mx}(u) t_x(u) e^{iuz'} du + \gamma \int_{-\alpha}^{\alpha} S_{my}(u) t_y(u) e^{iuz'} du \right|^2, \quad (10)$$

где  $S_{mx}(u)$  и  $S_{my}(u)$  — фурье-преобразования (2 → 2а), т. е. поле сигнала в плоскости антенны.

Знаменатель (9) после проведения операции математического ожидания и применения теоремы Планшереля примет вид

$$E_{\nu} = \frac{1}{2\pi} \left\{ \int_{-\alpha}^{\alpha} S_{nx}(u) |t_x(u)|^2 du + |\gamma|^2 \int_{-\alpha}^{\alpha} S_{ny}(u) |t_y(u)|^2 du + \right. \\ \left. + 2\operatorname{Re} \left[ \gamma \int_{-\alpha}^{\alpha} S_{nxy}^*(u) t_y(u) t_x^*(u) du \right] \right\}, \quad (11)$$

где  $S_{nx}(u)$ ,  $S_{ny}(u)$ ,  $S_{nxy}(u)$  — фурье-преобразования соответствующих автокорреляционных и взаимной корреляционной функций

$$K_{xx}(\chi) = \overline{n_x(z) n_x^*(z_1)}$$

$$K_{yy}(\chi) = \overline{n_y(z) n_y^*(z_1)}$$

$$K_{xy}(\chi) = \overline{n_x(z) n_y^*(z_1)}.$$

Проведенные преобразования будут вполне корректны, если  $h(z) \equiv 0$  вне  $(-1, 1)$ . Это условие практически всегда выполняется, поскольку все антенны стремятся сконструировать с минимальной реактивной энергией [3].

Оптимальная фильтрация будет иметь место, если (9) обращается в максимум.

Определить оптимальные амплитудно-фазовые распределения  $t_{0x}(u)$  и  $t_{0y}(u)$ , обращающие (9) в максимум, можно, пользуясь методами вариационного исчисления. Поочередно придавая вариации  $t_x(u)$  и  $t_y(u)$ , получаем два условно экстремальных уравнения, совместное решение которых позволяет найти с точностью до постоянного множителя  $C$   $t_{0x}(u)$  и  $t_{0y}(u)$ , обращающих (9) в абсолютный экстремум (максимум)

$$t_{0x}(u) = G e^{-iuz} \frac{S_{mx}^*(u) S_{ny}(u) - S_{nxy}^*(u) S_{my}^*(u)}{S_{nx}(u) S_{ny}(u) - |S_{nxy}(u)|^2} \quad (12)$$

$$t_{0y}(u) = \frac{G}{\gamma} e^{-iuz} \frac{S_{my}^*(u) S_{nx}(u) - S_{nxy}(u) S_{mx}^*(u)}{S_{nx}(u) S_{ny}(u) - |S_{nxy}(u)|^2}. \quad (13)$$

Подставляя (12) и (13) в (9), получаем выражение для максимального отношения сигнал/шум на выходе антенны

$$\rho_0 = \frac{\operatorname{Re}}{2\pi} \int_{-\alpha}^{\alpha} \frac{|S_{mx}(u)|^2 S_{ny}(u) + |S_{my}(u)|^2 S_{nx}(u) - 2S_{nxy}(u) S_{mx}^*(u) S_{my}(u)}{S_{nx}(u) S_{ny}(u) - |S_{nxy}(u)|^2} du. \quad (14)$$

Если одна из компонент поля отсутствует (случай линейной поляризации), то получаем выражение [4]

$$\rho_0 = \frac{1}{2\pi} \int_{-\alpha}^{\alpha} \frac{|S_m(u)|^2}{S_n(u)} du. \quad (15)$$

## 4. Дисперсия ошибки пеленгации

Обнаружение пространственного сигнала известной формы со случайной координатой появления сводится к пеленгации по максимуму отклика. Ошибка в определении угловой координаты вызывается тем, что наблюдаемая смесь сигнала и помехи достигает своего максимального значения при  $z \neq z_0$ , где случайная координата  $z$  определяется из следующего уравнения:

$$\mu'(z) + \nu'(z) = 0. \quad (16)$$

Разложим  $\mu'(z)$  в ряд и ограничимся первым членом разложения, т. е. в окрестности истинного пеленга примем

$$\mu'(z) = z \mu''(0). \quad (17)$$

Тогда, принимая во внимание (16) и (17), получим

$$D = |z|^2 = -\frac{1}{|\mu''(0)|^2} |\nu'(z)|^2. \quad (18)$$

Учитывая, что сигнал на выходе оптимального (в смысле отношения сигнал/шум) фильтра равен автокорреляционной функции сглаженного шума  $K_s(\chi)$  и, что

$$|\nu'(z)|^2 = -K_s''(0), \quad (19)$$

получаем

$$D_0 = \frac{1}{|\mu''(0)|}, \quad (20)$$

где  $D_0$  является минимальным значением функционала (18), которое имеет место, если амплитудно-фазовые распределения описываются выражениями (12) и (13)

Это можно доказать, минимизируя (18) методами вариационного исчисления, подобно тому, как это было сделано для случая максимизации отношения сигнал/шум.

Подставим в (10) значения  $t_{0x}(u)$  и  $t_{0y}(u)$  из (12) и (13) и, опуская операцию возведения модуля в квадрат, дважды продифференцируем интеграл по параметру. После этого, полагая  $z' = 0$  и учитывая (20), получим

$$D_0 = \frac{2\pi}{\operatorname{Re} \int_{-z}^z \frac{|S_{mx}(u)|^2 S_{ny}(u) + |S_{my}(u)|^2 S_{nx}(u) - 2S_{nxy}(u) S_{m^*x}(u) S_{my}(u)}{S_{nx}(u) S_{ny}(u) - |S_{nxy}(u)|^2} u^2 du}. \quad (21)$$

Если одна из компонент поля отсутствует (случай линейной поляризации), то получаем выражение [4]

$$D_0 = \frac{2\pi}{\int_{-z}^z \frac{|S_m(u)|^2}{S_n(u)} u^2 du}. \quad (22)$$

## 5. Пример синтеза оптимальной антенны

Синтез оптимальной антенны сводится к построению амплитудно-фазовых распределений (12) и (13) по известным параметрам суммарного пространственного сигнала.

Однако, как следует из (14) и (21), абсолютные экстремальные значения параметров  $\rho_0$  и  $D_0$  достигаются только в антенне бесконечной длины. Поэтому выбор длины оптимальной антенны на заданные величины  $\rho_0$  и  $D_0$  или оценка этих величин для антенны заданной длины могут быть произведены только в том случае, если известны зависимости  $\rho_0(\alpha)$  и  $D_0(\alpha)$ .

Для примера вычислим зависимость дисперсии ошибки пеленгации цели от длины оптимальной антенны при следующих предположениях:

$$1. S_{nxy}(u) \equiv 0; \quad (23)$$

$$2. S_{nx}(u) = S_{ny}(u) = \sigma_0^2 e^{-\beta u^2}. \quad (23a)$$

$$3. |S_{mx}(u)|^2 = |S_{my}(u)|^2 + \sigma_0^2 e^{-\gamma u^2}. \quad (23б)$$

На рис. 2 изображена зависимость  $D'_{01}(\alpha) = \frac{D_{01}(\alpha)}{D_{0\min}}$ ,

где  $D_{01}(\alpha)$  — дисперсия для случая широкополосного шума ( $\gamma = 4\beta$ ), посчитанная по формуле (21) с учетом (23а–б);  $D_{0\min}$  — получено из (21) для антенны бесконечной длины.

На том же рисунке приведена зависимость  $D'_{02}(\alpha) = \frac{D_{02}(\alpha)}{D_{0\min}}$  для случая узкополосного шума,

когда  $\gamma = \beta$ .

Как следует из рис. 2, в случае широкополосного шума ( $\beta < \gamma$ ) нельзя получить сколь угодно малую дисперсию ошибки, так как при увеличении апертуры резко падает коэффициент ее использования.

При полосе шума, равной полосе сигнала, можно получить дисперсию  $D'_{02}(\alpha)$ , стремящуюся к нулю с увеличением длины антенны. Очевидно, дисперсия более быстро

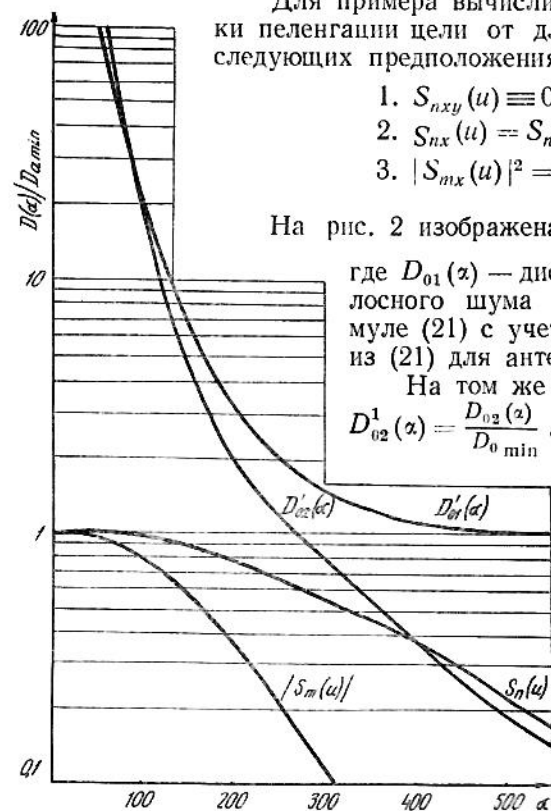


Рис. 2.

приближается к нулю с ростом  $\alpha$  для случая  $\gamma < \beta$ , т. е. для более узкополосного шума.

Для сравнения на рис. 2 изображены  $|S_m(u)|$  и  $S_n(u)$  при  $\gamma = 10^{-4}/4$ ;  $\beta = 10^{-4}/16$ .

В случае широкополосного шума можно заключить, что для получения малой дисперсии длина оптимальной антенны должна быть порядка ширины модуля спектра сигнала, при этом увеличение дисперсии (по сравнению с минимальной) составляет 20%.

## ВЫВОДЫ

Предложенный аппарат позволяет в принципе синтезировать антенну радиолекатора для оптимальной (по критерию минимума дисперсии ошибки пеленгации и максимума отношения сигнал/шум) фильтрации эллиптически поляризованных пространственных сигналов известной формы

на фоне коррелированных частично поляризованных помех. Задача оптимизации антенны решалась при разложении эллиптически поляризованного поля в базисе двух ортогональных линейных составляющих. Однако можно показать, что полученные выражения для  $\rho_0$  и  $D_0$  инвариантны по отношению к базису разложения. Например, если воспользоваться понятием степени поляризации сигнала [5], то

$$D_0 = \frac{2\pi}{\int_{-\alpha}^{\alpha} \left\{ \frac{I^2(u) [1 - v^2(u)]}{I_n^2(u) [1 - v_n^2(u)]} - 1 \right\} u^2 du}, \quad (24)$$

где  $v(u)$  и  $v_n(u)$  — распределение степени поляризации суммарного сигнала и помехи соответственно в плоскости антенны;

$I(u)$  и  $I_n(u)$  — распределение интенсивности суммарного сигнала и помехи соответственно в плоскости антенны.

Полученные результаты можно распространить на случай двумерного обзора.

#### ЛИТЕРАТУРА

1. Зичек, Милазо. Антенны круговой поляризации. Сб «Антенны эллиптической поляризации» под ред. А. И. Шпунтова, ИЛ, М., 1961.
2. Н. Винер, Р. Пэли. Преобразование Фурье в комплексной плоскости. Изд-во «Наука», М., 1964.
3. Я. И. Хургин, В. П. Яковлев. Методы теории целых функций в радиофизике, теории связи и оптике. Физматгиз, М., 1962.
4. В. В. Мотлохов. Оптимальная фильтрация пространственных сигналов известной формы. Известия вузов МВ и ССО СССР по разделу «Радиотехника», 1966, № 8.
5. У. Шерклифф. Поляризованный свет Изд-во «Мир», М., 1965.